——— ФИЗИКО-ХИМИЧЕСКИЙ АНАЛИЗ НЕОРГАНИЧЕСКИХ СИСТЕМ **———**

УЛК 546.881.34:536.7

ФАЗОВЫЕ РАВНОВЕСИЯ В СИСТЕМЕ Li-V-O (АНАЛИТИЧЕСКИЙ ОБЗОР)

© 2024 г. Г. Д. Нипан^{а, *}, Г. А. Бузанов^а

^aИнститут общей и неорганической химии им. Н.С. Курнакова РАН, Ленинский пр-т, 31, Москва, 119071 Россия *e-mail: nipan@igic.ras.ru

Поступила в редакцию 13.05.2024 г. После доработки 05.06.2024 г. Принята к публикации 07.06.2024 г.

С использованием метода топологического моделирования на основе фрагментарных экспериментальных данных о фазовых равновесиях и превращениях впервые построены P-T-x-фазовые диаграммы бинарных систем Li–V, Li–O и V–O, а также полная изотермическая концентрационная диаграмма системы Li–V–O, учитывающая образование ограниченных твердых растворов и присутствие насыщенного пара.

Ключевые слова: ванадаты лития, сложные оксиды, твердые растворы, многокомпонентные оксидные системы, фазовые диаграммы

DOI: 10.31857/S0044457X24100094, EDN: JIERBL

ВВЕЛЕНИЕ

Публикации, посвященные свойствам ванадатов лития, исчисляются тысячами, однако отсутствует цельная картина фазовых равновесий в системе Li-V-O, несмотря на изменение в зависимости от температуры и парциального давления кислорода нестехиометрии Li: V: O кристаллических фаз и их физико-химических свойств.

Актуальная тема материалов с фазовым переходом (PCM – phase change materials), которые нашли широкое применение для преобразования солнечной энергии и накопления электрической энергии, рекуперации отработанного тепла, кондиционирования воздуха и регулирования температуры в зданиях, в телекоммуникационном И микропроцессорном оборудовании, для изолирующей одежды и биомедицинских систем, для изготовления контейнеров для транспортировки и хранения пищевых продуктов [1, 2], получила дальнейшее развитие в новом типе РСМ, использующих переход между сильно коррелированными электронными состояниями (заряд, спин, орбиталь) кристаллической структуры [3]. В отличие от SL-PCM (solid-liquid PCM, плавление/ затвердевание) [4] и SS-PCM (solid-solid PCM, твердофазное превращение) [5], подобные РСМ позволяют осуществлять непосредственную установку в оборудование без утечки жидкости или нарушения однофазности. К новым РСМ относится нестехиометрический ванадат лития $\operatorname{Li}_x \operatorname{VO}_2$ (0.85 $\leqslant x \leqslant$ 1.15) с ромбоэдрической пр. гр. R3m, который претерпевает при 490 К немагнитно-парамагнитный переход, резкое изменение удельного электрического сопротивления и структурное превращение с энтальпией, сравнимой с энтальпиями для SL-PCM [6].

Ванадат лития со структурой нормальной шпинели LiV_3O_4 (*Fd3m*) — первый обнаруженный оксид, в котором систему тяжелых фермионов (квазичастицы, эффективная масса которых на 2-3 порядка больше массы электрона) образуют 3d-, а не 4f- и 5f-электроны [7], и их особенностью является геометрическое разупорядочение как спинов, так и зарядов [8, 9]. Обратимое литирование поликристаллов до состава $\text{Li}_{2}\text{V}_{2}\text{O}_{4}$ [10] или нанесение в виде пленок на зерна $LiNi_{0.5}Co_{0.2}Mn_{0.3}O_2$ [11] позволяет использовать LiV₂O₄ в катодах литий-ионных аккумуляторов (ЛИА). Кроме того, интерес для ЛИА представляют полиморфные ванадиевые бронзы $\text{Li}_{\alpha}\text{V}_{\alpha}\text{O}_{\epsilon}$ $(0 \le x \le 1; \alpha \to \epsilon \to \beta \to \gamma \to \delta)$ с ромбической или моноклинной структурой в зависимости от содержания лития, ω -Li₃V₂O₅ (*Fm3m*) [12, 13] и $\text{Li}_{x}V_{3}O_{8}$ ($1 \le x \le 4.8$, $P2_{1}/m$) [14, 15].

Практически все кристаллические фазы, образующиеся в системе Li–V–O, представляют собой ограниченные твердые растворы, на гомогенность которых влияют не только температура и давление, но и фазы, находящиеся с ними в равновесии. Рассмотрим фазовые диаграммы

тройной системы Li–V–O, начиная с граничных бинарных систем.

СИСТЕМА LI-V

В системе Li–V отсутствуют интерметаллиды и твердые растворы на основе Li $(Im\bar{3}m)$ и V

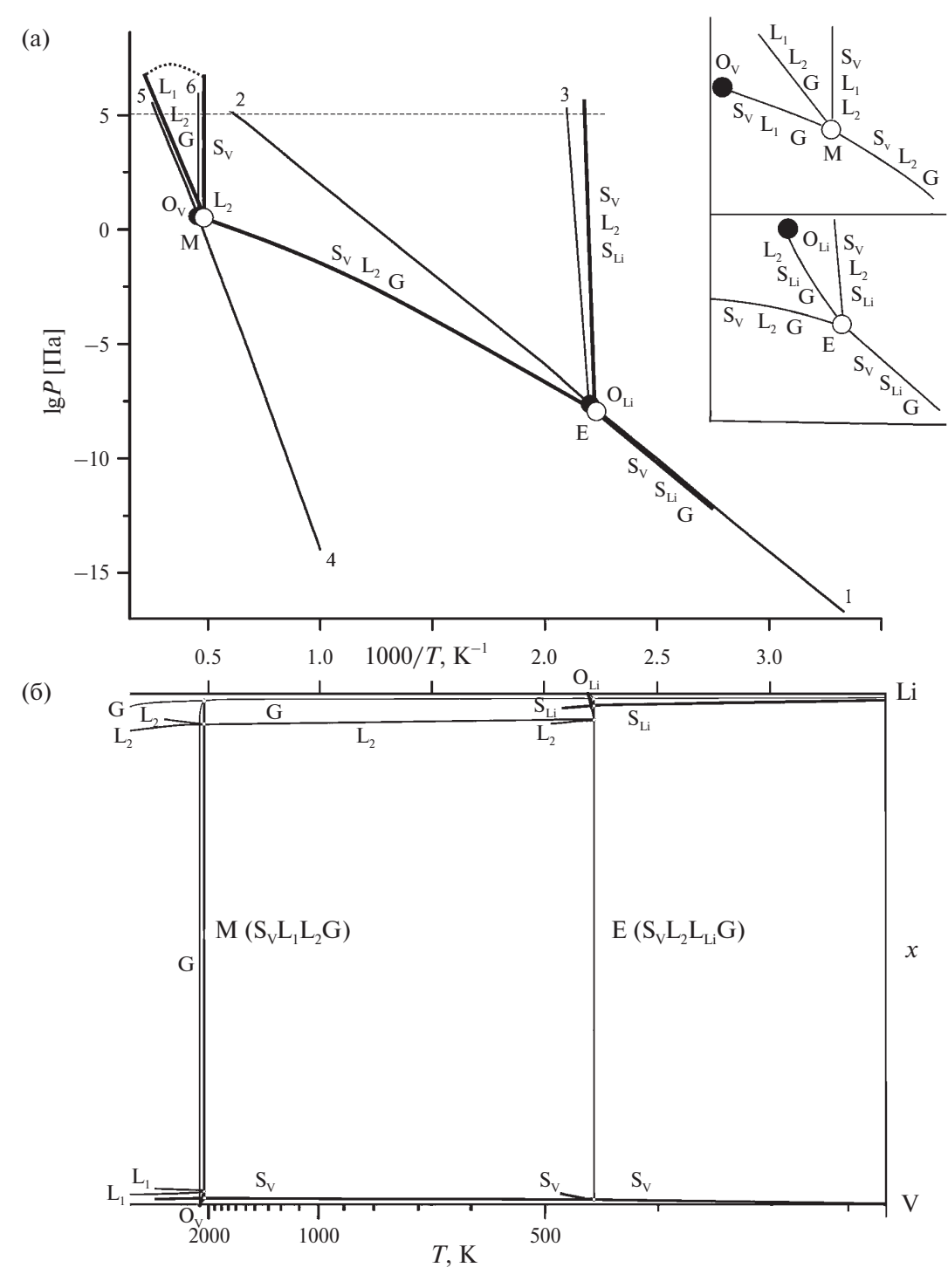


Рис. 1. P-T- (a) и T-x-проекции (б) P-T-x-фазовой диаграммы Li–V

 $(Im\overline{3}m)$, образуется вырожденная эвтектика на основе лития, а расплавы Li и V не смешиваются [16]. Равновесные диаграммы T-x (температура—состав) для Li–V при собственном давлении P насыщенного пара (Li, Li, V [17]) и избыточном давлении P = 1 атм (101 кПа), представленные в работе [16], можно рассматривать как T—x-проекцию без линии пара и T—x-изобарное сечение P-T-x-фазовой диаграммы Li-V. Модели P-T- и T-x-проекций (рис. 1) позволяют корректировать изобарические T-x-диаграммы (рис. 2). Координаты тройной точки Li (О,, рис. 1а) определены с высокой точностью $(45\overline{3}.7 \text{ K}, 2.3 \times 10^{-8} \,\Pi\text{a})$ [17]. Температура кипения $(P = 101.325 \text{ к}\Pi a)$ литиевого расплава находится в интервале 1600-1620 К [18]. Давлению пара Li при сублимации (298-454 К [19]) и испарении (455—1500 К [20], 700—2075 К [21]) на *P*—*T*-проекции (рис. 1a) соответствуют линии 1 и 2. Увеличение температуры плавления Li с ростом давления [22] представлено линией 3. Тройная точка (2201 К, 3.64 Па), температура кипения (3694 К) и линия сублимации 4 (298—2201 K) для V приведены на P-T- и T-x-проекциях (рис. 1a, 1б, O_{y}) по данным [23]. Линия испарения 5 построена на основе данных работы [21], в которой область аппроксимации 1800-4375 К включает интервал 2201—3700 K для [23]. Плавление V представлено вертикалью 6, поскольку экспериментально зависимость температуры плавления от давления не установлена. Эвтектическому $E(S_v L_2 S_1 G)$ и монотектическому $M(S_vL_1L_2G)$ равновесиям $(S_{v}, S_{i}, L_{i}, L_{j} - кристаллические фазы и рас$ плавы на основе ванадия и лития; G – пар) на P-T-проекции отвечают точки E и M, а на Т-х-проекции - четыре точки составов фаз в нонвариантных равновесиях, объединенные нодой (рис. 1б). Вырожденные моновариантные линии $L_2S_{L_2}G$ и $S_{L_2}G$ связывают на P-T-проекции нонвариантные точки Е и М с тройными точками O_{L_i} и O_{V} , чему на T-x-проекции соответствуют пучки из трех линий состава, объединяющие ноды с тройными точками. Моновариантное равновесие S_vL₂G объединяет два нонвариантных равновесия. Линия совместной сублимации $S_{\nu}S_{\Gamma}G$ на P-T-проекции (линии солидуса и пара на T-x-проекции, уходящие вниз) практически совпадает с линией 1 сублимации лития, а линия L_1L_2G (на T-x-проекции линии ликвидуса и пара, уходящие вверх) практически совпадает с линией 5 испарения ванадия. Кроме того, присутствуют моноварианты совместного плавления ванадия с литием $S_{\nu}L_{\nu}S_{\nu}$

и плавления ванадия с расслаиванием $S_{\nu}L_{1}L_{2}$. Для пояснения P-T-x-диаграммы и сравнения с результатами работы [16] на рис. 2а, 26 приведены модели изобарных T-x-сечений для интервала $PO_{Li} < P < P_{M}$ и при давлении 101 кПа. Диаграмма без учета паровой фазы с температурами вырожденной эвтектики 453.7 К и монотектики 2183 К [16] соответствует T-x-сечению при давлении 101 кПа (рис. 2), но диаграмму для 101 кПа, приведенную в [16], нельзя назвать корректной. Давление пара в тройной точке ванадия и над расплавом лития при 615 К (342°C) значительно ниже 101 кПа, и равновесие ванадий—пар $S_{\nu}G$ при 101 кПа не может реализоваться [16].

СИСТЕМА LI-O

В системе Li-O существуют стабильные оксиды Li₂O ($Fm\overline{3}m$) и Li₂O₂ (P63/mmc). Кристаллическая фаза Li,О конгруэнтно плавится, образует вырожденную эвтектику с литием и появляется при перитектическом плавлении Li₂O₂ [24]. Расплав Li₂O конгруэнтно испаряется [24]. В паре присутствуют Li, Li, O, LiO, LiO, LiO и Li,O, [17]. О конгруэнтной сублимации Li,O свидетельствует наличие линии минимального давления для кристаллического Li₂O [17] по отношению к линиям моновариантных равновесий $S_{\text{Li}2O}G$ и $S_{\text{Li}2O}S_{\text{Li}2O}G$ ($S_{\text{Li}2O}$ и $S_{\text{Li}2O}$ – кристаллические фазы на основе Li_2O и Li_2O_2) [25]. Экспериментальные данные по давлению пара над Li [19-21], Li₂O [17] и Li₂O₂ [17] позволяют смоделировать P = T-диаграмму и при использовании изобарной T—x-диаграммы (101 к Π а) [24] представить в виде проекций и изобарных

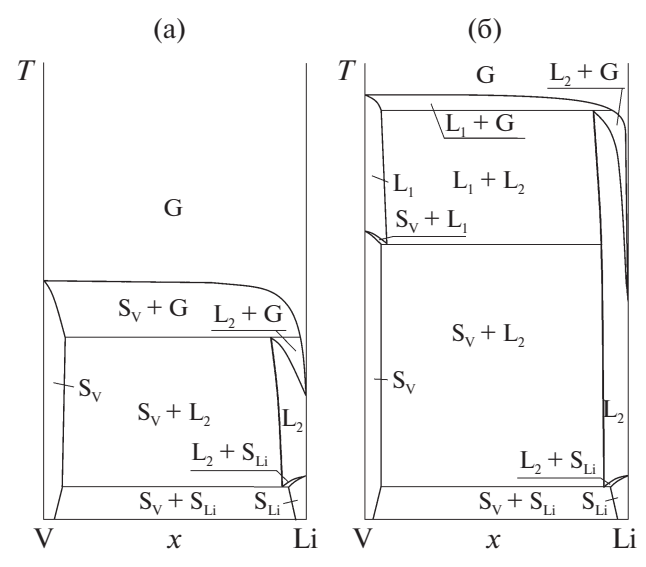


Рис. 2. Изобарные T—x-сечения P—T—x-фазовой диаграммы Li—V: интервал P_{OLi} < P < P_M (a) и P = 101 кПа (б)

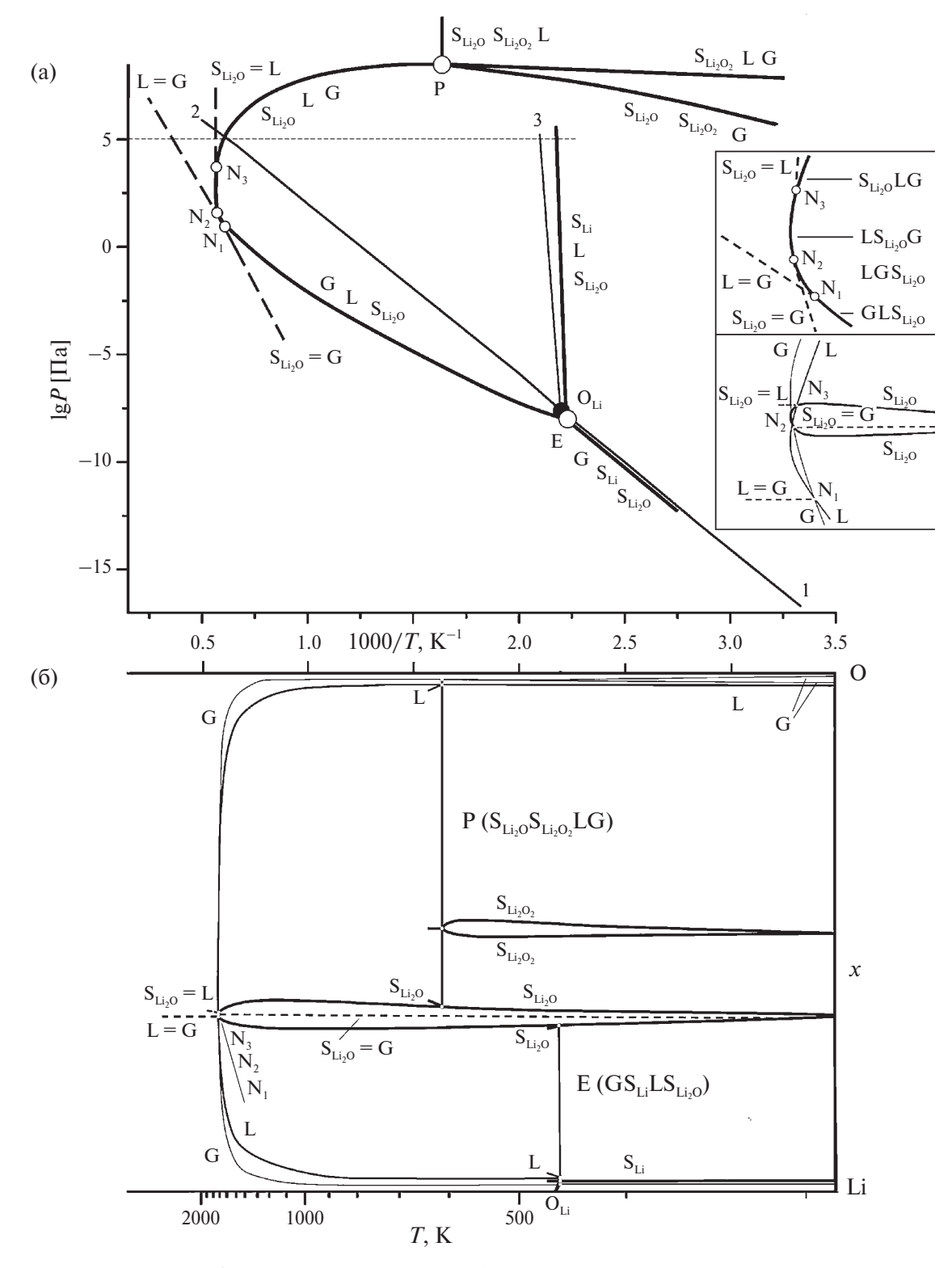


Рис. 3. P-T- (а) и T-x-проекции (б) P-T-x-фазовой диаграммы Li-O

сечений P-T—x-фазовую диаграмму системы Li—O (рис. 3 и 4). Координаты тройной точки O_{Li} и точки кипения при 101 к Π а, линии сублимации 1, испарения 2 и плавления 3 для Li на P-T-проекции (рис. 3a) такие же, как на рис. 1a.

Тройная точка кислорода (54.36 K, 146 Па) [26] не отмечена. Эвтектическому E ($GS_{Li}LS_{Li_2O}$) и перитектическому P ($S_{Li_2O}S_{Li_2O_2}LG$) равновесиям на P-T-проекции соответствуют точки E и P. Кроме того, присутствуют точки условно нон-

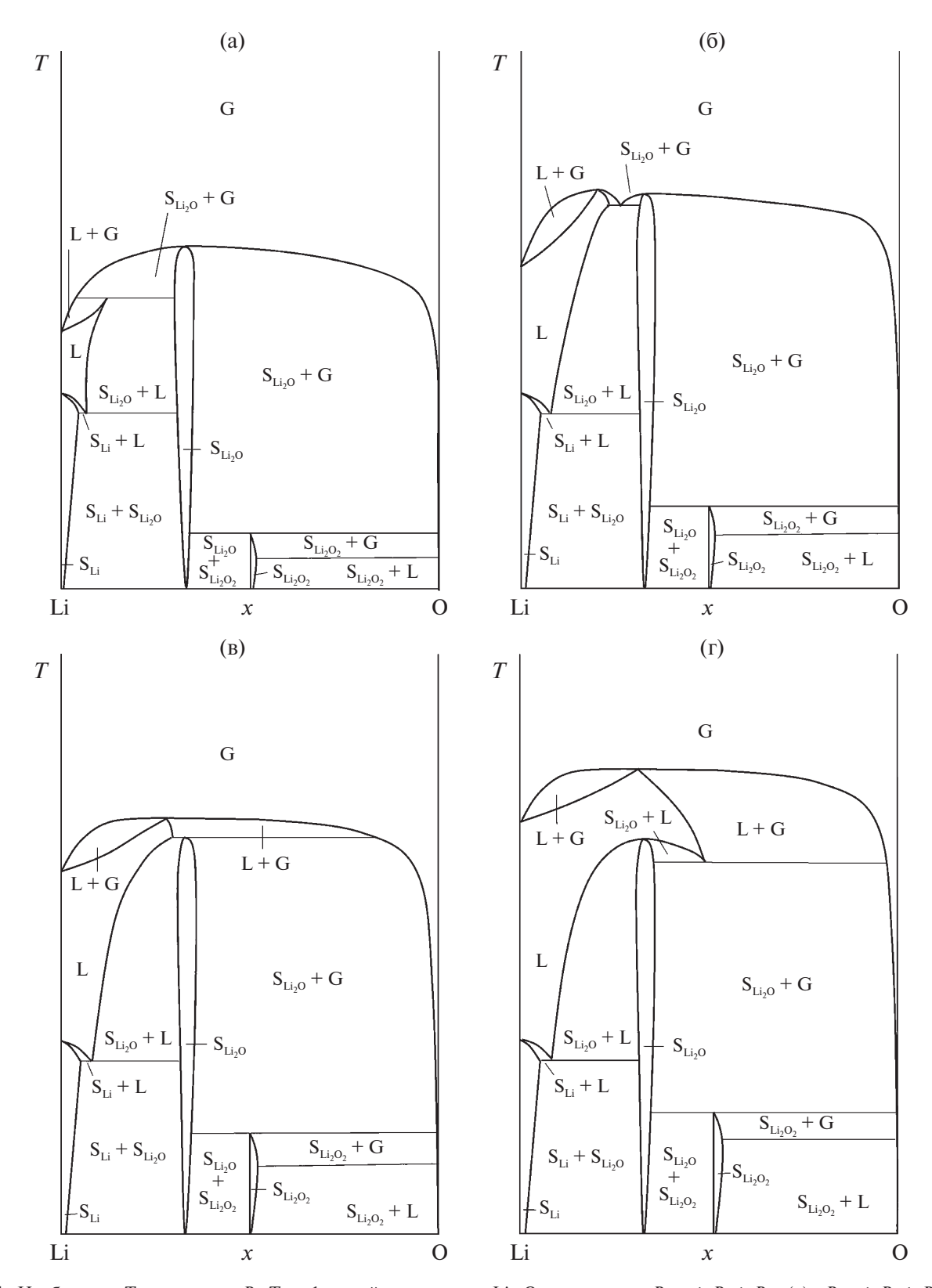


Рис. 4. Изобарные T—x-сечения P—T—x-фазовой диаграммы Li—O: интервалы $P_{\rm OLi} < P < P_{\rm N_1}$ (a), $P_{\rm N_1} < P < P_{\rm N_2}$ (б), $P_{\rm N_2} < P < P_{\rm N_3}$ (в) и $P_{\rm N_3} < P < P_{\rm p}$ (г)

вариантных равновесий N_1 , N_2 и N_3 , в которых линии конгруэнтного испарения L = G, сублимации $S_{\text{Li},O} = G$ и плавления $S_{\text{Li},O} = L$ касаются трехфазной моноварианты $GL\tilde{S}_{\text{Li},o}^{\text{Li},o}$, в результате чего последовательно изменяется порядок фаз $GLS_{Li_{2}O} \to LGS_{Li_{2}O} \to LS_{Li_{2}O}G \to S_{Li_{2}O}LG$ (рис. 3а и поясняющая вырезка). На T-x-проекции линия пара G, обогащенного литием, пересекается с линиями ликвидуса L и солидуса S...о. которые после прохождения через температурный максимум пересекаются между собой, и из точек пересечения линий составов исходят штриховые линии конгруэнтных превращений (рис. 36 и вырезка). Как и на рис. 1, четыре точки составов фаз в нонвариантных равновесиях Е и Р объединены нодами (рис. 3 б), и вырожденная моновариантная линии GS_{1.}L связывает на *P*–*T*-проекции нонвариантную точку Е с тройной точкой O_{I_i} (рис. 3a), чему на T-x-проекции соответствует пучок из трех линий состава, объединяющий ноду с тройной точкой. Моновариантное равновесие $\widehat{GLS}_{\text{Li}_2\text{O}}$ ($S_{\text{Li}_2\text{O}}\text{LG}$) объединяет нонвариантные равновесия \widehat{E} ($GS_{\text{Li}}\text{LS}_{\text{Li}_2\text{O}}$) и P $(S_{\text{Li},O}S_{\text{Li},O_2}LG)$. Линия совместной сублимации $G\overline{S}_{1}^{2}S_{1}^{2}$ на P-T-проекции (линии солидуса и пара на T-x-проекции, уходящие вниз) практически совпадает с линией 1 сублимации лития. Область дивариантного равновесия S_{Li,O_2} — кислород заключена на P-T-проекции между моновариантами $S_{\text{Li}_2\text{O}}S_{\text{Li}_2\text{O}_2}G$ и $\hat{S}_{\text{Li}_2\text{O}_2}\text{LG}$, а на $T\!-\!x$ -проекции представлена двумя линиями солидуса и двумя линиям пара, отходящими вниз от ноды $P(S_{Li_2O}S_{Li_2O_2}LG)$. На рис. 3 также отмечены моноварианты совместного плавления оксида лития с литием S_{LiO} и с пероксидом S_{LiO} Lipoизменении давления.

Взаимодействие конгруэнтных процессов проанализировано с помощью моделей изобарных T-x-сечений (рис. 4). Сечение на рис. 4а реализуется при давлениях $P_{\rm OLi} < P < P_{\rm N_l}$, для которых наблюдается когруэнтная сублимация $S_{\rm Li_2O}$. В интервале $P_{\rm N_l} < P < P_{\rm N_2}$ (рис. 4б) помимо конгруэнтной сублимации происходит конгруэнтное испарение расплава ${\rm Li_2O}$. При повышении давления до $P_{\rm N_2} < P < P_{\rm N_3}$ (рис. 4в) конгруэнтная сублимация $P_{\rm N_2} < P < P_{\rm N_3}$ (рис. 4в) прекращается. T-x-сечение на рис. 4 г соответствует интервалу $P_{\rm N_3} < P < P_{\rm P}$, в котором происходит конгруэнтное плавление ${\rm S}_{{\rm Li_2O}}$ и конгруэнтное испарение расплава. В этот интервал давлений попадает изобара P=101 кПа, и представленное T-x-сечение (рис. 4 г) соответствует расчетной T-x-диаграмме при атмосферном давлении с температурами

вырожденной эвтектики Li c Li₂O 453.6 K, перитектического плавления Li₂O₂ 613.2 K, конгруэнтного плавления Li₂O 1711 K и конгруэнтного испарения расплава Li₂O 2673 K [24].

СИСТЕМА V-O

На P-T-x-фазовой диаграмме V-O стабильные кристаллические фазы обозначены в соответствии с увеличением содержания кислорода. Для твердых растворов на их основе оценены интервалы кислородной нестехиометрии: V-S_v $(Im3m, 0-17 \text{ at. } \% \text{ O}), V_8O-S\alpha' (8.1-11.7 \text{ at. } \%)$ O), $V_4O - S_8 (I4_1/mmm, 7.9 - 28.5 \text{ at. } \% \text{ O}), V_{16}O_3 - S_{81}$ $(I4_1/mmm, 13-22 \text{ at. } \% \text{ O}), V_7O_3-S_7 (C2/m, 30-4)$ 35 at. % O), VO-S_{δ} ($Fm\bar{3}m$, 42-55 at. % O), $V_4O_5-S_8$ (I4/amd, 55-56 at. % O), $V_2O_3-S_\epsilon$ (R3c, 59-62 at. % O), $V_3O_5-S_\eta$ (I2/c), $V_4O_7-S_{\theta 1}$ $\begin{array}{l} (P\overline{1}),\ V_{5}O_{9}-S_{_{\theta2}}\ (P\overline{1}),\ V_{6}O_{_{11}}-S_{_{\theta3}}\ (P\overline{1}),\ V_{7}O_{_{13}}-S_{_{\theta4}}\\ (P\overline{1}),\ V_{8}O_{_{15}}-S_{_{\theta5}}\ (P\overline{1}),\ VO_{_{2}}-S_{_{1}}\ (P4_{_{2}}/mnm),\ V_{6}O_{_{13}}-S_{_{\times}}\\ (C2/m),V_{3}O_{7}-S_{_{\omega}}\ (C2/c)\ \text{in}\ V_{2}O_{5}-S_{_{\lambda}}\ (Pmmm)\ [27-30]. \end{array}$ Низкотемпературные стабильные полиморфные модификации и метастабильные кристаллические фазы не рассматриваются [27, 28]. Молекулярный состав паровой фазы системы V-O столь же разнообразен, и в ней присутствуют V, VO, VO_2 , V_2O_4 , V_4O_8 , V_4O_{10} , V_6O_{12} , V_6O_{14} и O_2 [17]. На рис. 5а представлена Р-Т-проекция P-T-x-фазовой диаграммы V-O, на которой фигуративными точками отмечены 16 нонвариантных равновесий с участием пара, систематизированных в табл. 1.

 O_{V} – тройная точка ванадия, E_{1} – E_{3} – эвтектики, $P_1 - P_{12}$ — перитектики, $N_1 - N_3$ — условно нонвариантные точки, соединенные линиями моновариантных равновесий. Эвтектическим и перитектическим равновесиям на T-проекции (рис. 5б) соответствуют ноды, связывающие составы четырех фаз. Моновариантные трехфазные равновесия на Т-х-проекции представлены тремя линиями составов (линии наибольшей толщины S – солидус или сольвус, средние L – ликвидус, тонкие G - пар). Линии, отвечающие равновесиям между конденсированными фазами SSL или SSS, выходящие из нонвариантных точек E и P, для упрощения P-T-x-фазовой диаграммы не приведены. Моновариантные равновесия с участием пара указаны в табл. 1. Штриховые линии, касающиеся моновариант на P-T-проекции (рис. 5a) или пересечений линий состава на T-x-проекции (рис. 5б) в точках N_1 $(\sim 2050 \text{ K [31]})$ и N_3 $(\sim 955 \text{ K [31]})$ отвечают конгруэнтному плавлению S_{δ} (VO) и S_{λ} (V₂O₅). Точка N_2 (~2265 K [31]) в действительности пред-

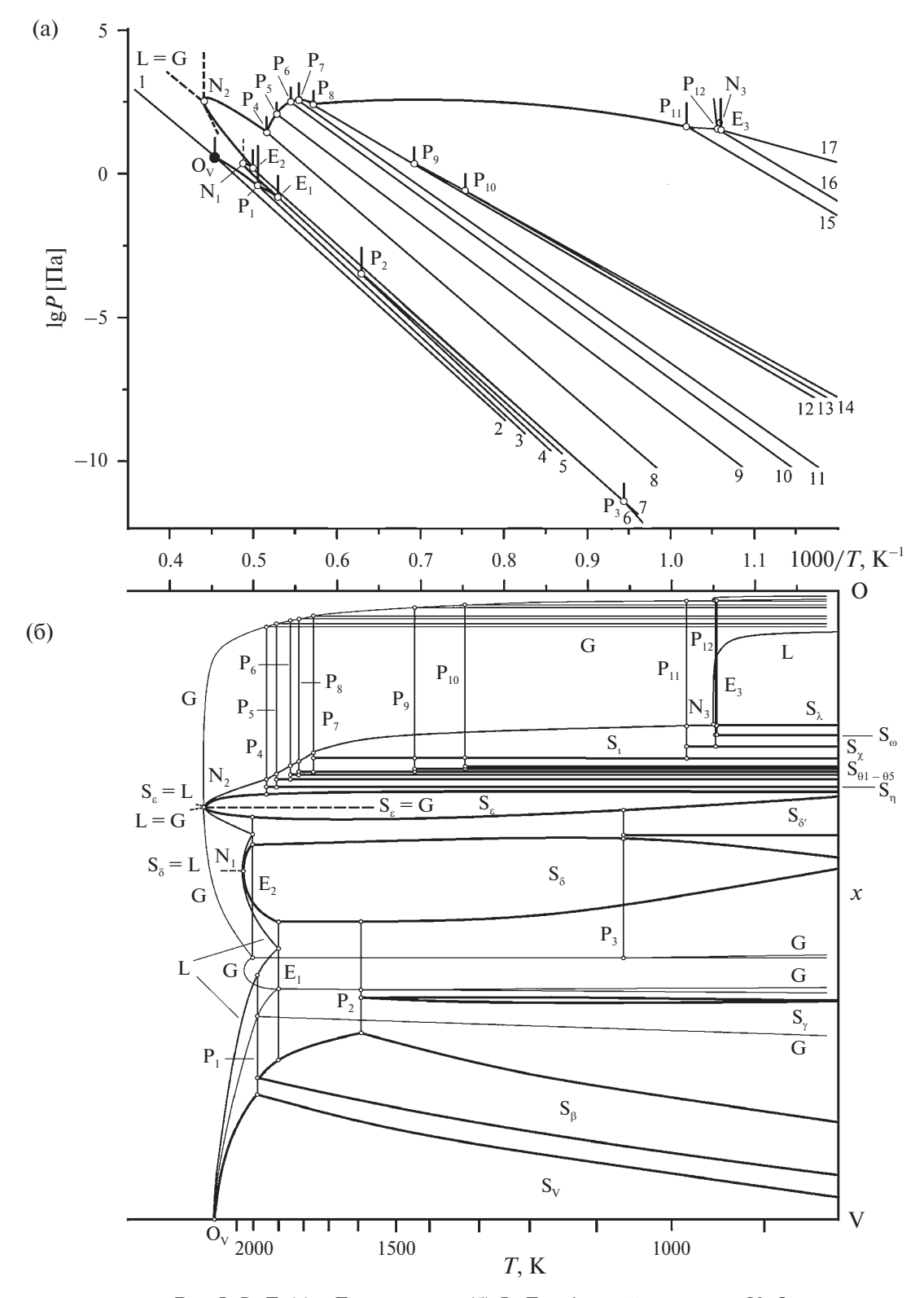


Рис. 5. P–T- (a) и T–x-проекции (б) P–T–x-фазовой диаграммы V–O

Нонвариантные равновесия	Моновариантные равновесия с паром	Обозначения моновариант
O _v (VLG)	LG, VG	$1 - O_{V}, 2 - O_{V}$
$P_1(S_VS_{\beta}LG)$	$S_{V}S_{B}G, S_{V}LG, S_{B}LG$	$3 - P_1, O_V - P_1, P_1 - E_1$
$E_{1}(S_{\beta}GLS_{\delta})$	$S_{\beta}GS_{\delta}, S_{\beta}GL, GLS_{\delta}$	$E_1 - P_2, P_1 - E_1, E_1 - N_1$
$P_2(S_{\beta}S_{\gamma}GS_{\delta})$	$S_{\beta}GS_{\delta}, S_{\beta}S_{\gamma}G, S_{\gamma}GS_{\delta}$	$E_1 - P_2, 4 - P_2, 5 - P_2$
$E_2(GS_{\delta}LS_{\epsilon})$	$GS_{\delta}S_{\varepsilon}, GS_{\delta}L, GLS_{\varepsilon}$	$P_3 - E_2, N_1 - E_2, E_2 - N_2$
$P_3(GS_{\delta}S_{\delta'}S_{\epsilon})$	$GS_{\delta}S_{\varepsilon}, GS_{\delta}S_{\delta'}, GS_{\delta'}S_{\varepsilon}$	$P_3 - E_2, 6 - P_3, 7 - P_3$
$P_4(S_{\varepsilon}S_{\eta}LG)$	$S_{\varepsilon}S_{\eta}G, S_{\varepsilon}LG, S_{\eta}LG$	$8 - P_4, N_2 - P_4, P_4 - P_5$
$P_{5}(S_{\eta}S_{\theta 1}LG)$	$S_{\eta}S_{\theta 1}G, S_{\eta}LG, S_{\theta 1}LG$	$9 - P_5, P_4 - P_5, P_5 - P_6$
$P_6(S_{\theta 1}S_{\theta 2}LG)$	$S_{\theta 1}S_{\theta 2}G, S_{\theta 1}LG, S_{\theta 2}LG$	$10 - P_6, P_5 - P_6, P_6 - P_7$
$P_7(S_{\theta 2}S_{\theta 3}LG)$	$S_{\theta 2}S_{\theta 3}G, S_{\theta 2}LG, S_{\theta 3}LG$	$11 - P_7, P_6 - P_7, P_7 - P_8$
$P_{s}(S_{\theta 3}S_{\iota}LG)$	$S_{\theta 3}S_{\iota}G, S_{\theta 3}LG, S_{\iota}LG$	$P_8 - P_9, P_7 - P_8, P_8 - P_{11}$
$P_9(S_{\theta 3}S_{\theta 4}S_{\iota}G)$	$S_{\theta 3}S_{\iota}G, S_{\theta 3}S_{\theta 4}G, S_{\theta 4}S_{\iota}G$	$P_8 - P_9, 12 - P_9, P_9 - P_{10}$
$P_{10}(S_{\theta 4}S_{\theta 5}S_{\iota}G)$	$S_{\theta 4}S_{\iota}G, S_{\theta 4}S_{\theta 5}G, S_{\theta 5}S_{\iota}G$	$P_9 - P_{10}$, $13 - P_{10}$, $14 - P_{10}$
$P_{11}(S_{\iota}S_{\varkappa}LG)$	$S_{i}S_{k}G$, $S_{i}LG$, $S_{k}LG$	$15 - P_{11}, P_8 - P_{11}, P_{11} - P_{12}$
$P_{12}(S_{\kappa}S_{\omega}LG)$	$S_{x}S_{\omega}G, S_{x}LG, S_{\omega}LG$	$16 - P_{12}, P_{11} - P_{12}, P_{12} - E_3$
$E_3(S_{\omega}LS_{\lambda}G)$	$S_{\omega}S_{\lambda}G, S_{\omega}LG, LS_{\lambda}G$	$17 - E_3, P_{12} - E_3, E_3 - N_3$

Таблица 1. Нонвариантные и моновариантные равновесия в системе V—О

ставляет собой три точки для S_{ϵ} (V_2O_3) подобно тому, как это происходит в случае Li_2O (рис. 3), из которых исходят линии конгруэнтного испарения L = G, сублимации $S_{\epsilon} = G$ и плавления $S_{\epsilon} = L$. В результате на моноварианте, связывающей E_2 и P_4 , происходит изменение порядка фаз $GLS_{\epsilon} \to LGS_{\epsilon} \to LS_{\epsilon}G \to S_{\epsilon}LG$. Парциальное давление кислорода для моновариантных равновесий системы V—O изменяется более чем на сто порядков [31, 32], поэтому приведены моноварианты общего давления, которые из-за противоречивости экспериментальных данных могут быть сдвинуты по давлению на порядок [31—35].

СИСТЕМА LI-V-O

Концентрационные диаграммы системы Li–V–O представлены фрагментарно и без учета образования ограниченных твердых растворов на основе оксидов ванадия [36–40]. В системе до 850 К существуют кристаллические Li₃VO₄ (*Pmn*2₁), LiVO₂ (*R*3*m*), LiVO₃ (*C*12/*c*1), LiV₂O₄ (*Fd*3*m*), LiV₂O₅ (*Pnma*), LiV₃O₈ (*P*12₁/*m*1) и фазы Li_xV₆O_{15n-m} (*C*12₁/*m*1 и *P*121/*m*1), близкие к бронзам Li_xV₂O₅ (0 < $x \le 1$). На рис. 6 представлена изотермическая субсолидусная концентрационная диаграмма Li–V–O. Фигуративные точки S₁, S₂, S₃ и S₄ соответствуют Li₃VO₄, LiVO₂, LiVO₃ и LiV₂O₄. Составы LiV₂O₅ и LiV₃O₈ принадлежат ограниченным твердым растворам S₅ и S₆.

Фазы $\text{Li}_{x}\text{V}_{6n}\text{O}_{15n-m}$ рассматриваются как твердый раствор S_7 с полиморфным превращением [37], область которого на диаграмме показана черным цветом. Все двухфазные области с участием твердых растворов изображены на диаграмме серым цветом. Штриховые линии показывают изменение триангуляции в системы Li–V–О при кристаллизации Li₂O₂ ниже 620 K, когда вместо равновесий $S_{Li,O}S_1\dot{G}(\dot{O}_2)$ и $S_1S_3G(\dot{O}_2)$ возникают равновесия $S_{\text{Li}_2O_2}^{\text{Li}_2O_2}S_1$, $S_{\text{Li}_2O_2}^{\text{I}}S_1$, $S_{\text{S}_3}^{\text{I}}S_3$ и $S_{\text{Li}_2O_2}S_3G(O_2)$. Для пояснения приведен увеличенный фрагмент диаграммы Li-V-O в интервале от 50 до 71.4 ат. % О (рис. 7). Сведения о фазовых равновесиях с участием расплава отрывочны. Максимальные температуры плавления для S_1 , S_2 , S_3 и S_4 , имеющих области нестехиометрии [41–44], могут не соответствовать стехиометрическим составам Li₃VO₄, LiVO₂, LiVO₃ и LiV₂O₄. Фаза S (Li, VO₄) плавится конгруэнтно при 1425 К [45] и образует эвтектики (22.9 ат. % Li, 18.8 ат. % V, 58.3 ат. % O, T = 865 K [45] и 27.5 ат. % Li, 19.5 ат. % V, 53 ат. % O, T = 1223 K [46]) с фазой S₃ (LiVO₃), конгруэнтно плавящейся при 895 К [47], и S_4 (LiV₂O₄), инкогруэнтно плавящейся при 1313 K с образованием $S_a(V_2O_3)$ [46]. Фаза S₃ (LiVO₃) участвует в эвтектическом равновесии (13.9 ат. % Li, 22.6 ат. % V, 63.5 ат. % O, T = 823 K) с S_6 , инконгруэнтно плавящейся при 858 K с образованием S_3 (V_2O_5) [47]. Фаза S_7

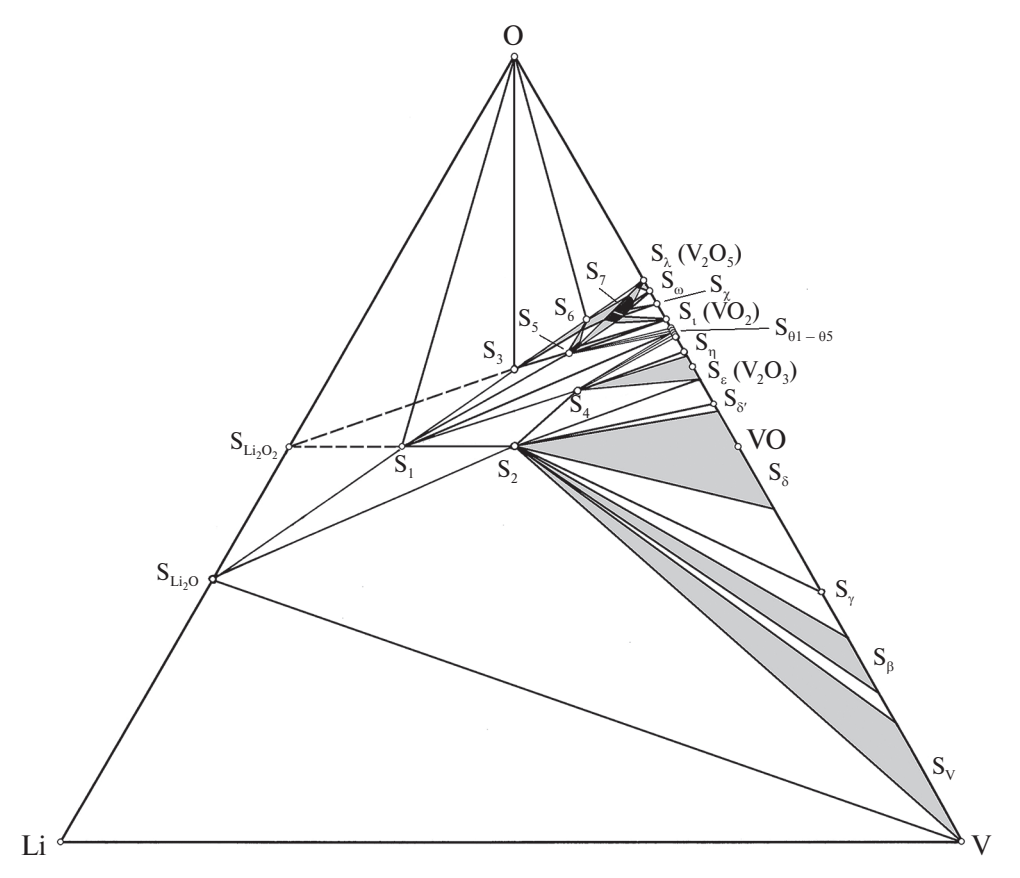


Рис. 6. Изотермическая концентрационная диаграмма Li–V–O

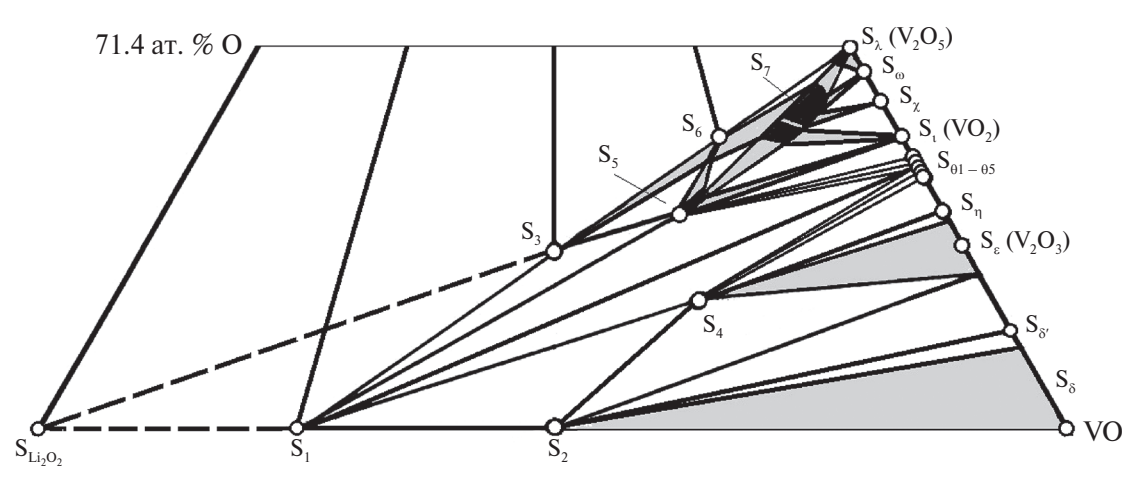


Рис. 7. Фрагмент изотермической концентрационной диаграммы Li–V–O (50 ат. $\% \le O \le 71.4$ ат. %)

с максимальной температурой плавления $(T_{\rm max})$ 993 К участвует в эвтектических равновесиях (8.1 ат. % Li, 26.3 ат. % V, 65.6 ат. % О, T=945 К и 1.1 ат. % Li, 28.3 ат. % V, 70.6 ат. % О, T=970 К) с фазами S_5 (LiV $_2O_5$, $T_{\rm max}=1045$ К) и S_{λ} (V $_2O_5$) [48]. Вероятно, при 875 К наблюдается тройная эвтектика с участием S_3 (LiV $_3$, $T_{\rm max}=891$ K) [48]. Над смесями бронз S_5S_7

и S_7S_λ измерено парциальное давление кислорода ((1.5–4) \times 10^4 Па) в интервале температур 740–900 К [48]. Моноварианты четырехфазных равновесий SSSG системы Li–V–О с участием двух оксидов ванадия совпадают с соответствующими моновариантами SSG системы V–О подобно тому, как это происходит для систем Li–Mn–O и Mn–O [49].

ЗАКЛЮЧЕНИЕ

На основе Курнаковских принципов непрерывности и однозначного соответствия при использовании фрагментарных экспериментальных данных проведен топологический анализ фазовых равновесий в системе Li- V-O. Наиболее подробно физико-химический топологический метод описан в классической монографии [50]. В представленном исследовании использовано пространство давление-температура-состав с гомогенными замкнутыми объемами кристаллических фаз, расплава и пара, которые удобно представить как полиэдры. Для бинарных систем в трехмерном пространстве P-T-x-поверхности двух полиэдров, обращенные друг к другу, представляют собой двухфазное равновесие, ребра трех полиэдров, принадлежащие единой поверхности, соответствуют трехфазному равновесию, а вершины четырех полиэдров на одной линии ортогональной плоскости P-T отвечают четырехфазному нонвариантному равновесию.

Впервые для бинарных систем Li–V, Li–O и V–O построены P–T–x-фазовые диаграммы и ключевые изобарные T–x-сечения. Впервые построена непротиворечивая изотермическая концентрационная диаграмма системы Li–V–O с участием твердых растворов при изменяющемся давлении насыщенного пара.

ФИНАНСИРОВАНИЕ РАБОТЫ

Исследование выполнено при финансовой поддержке Российского научного фонда (грант № 23-23-00576).

КОНФЛИКТ ИНТЕРЕСОВ

Авторы заявляют об отсутствии конфликта интересов.

СПИСОК ЛИТЕРАТУРЫ

- 1. Fallahi A., Guldentops G., Tao M. et al. // Appl. Therm. Eng. 2017. V. 127. P. 1427. https://doi.org/10.1016/j.applthermaleng. 2017.08.161
- Zare M., Mikkonen K.S. // Adv. Funct. Mater. 2023.
 V. 33. № 12. P. 2213455. https://doi.org/10.1002/adfm.202213455
- Kato K., Lee J., Fujita A. et al. // J. Alloys Compd. 2018. V. 751. P. 241. https://doi.org/10.1016/j.jallcom.2018.04.094
- Li X., Liu Y., Xu Y. et al. // Acc. Mater. Res. 2023. V. 4 № 6. P. 484. https://doi.org/10.1021/accountsmr.2c00251

- Huang L., Yang Y., Yuan D., Cai X. // J. Energ. Stor. 2021. V. 36. P. 102343. https://doi.org/10.1016/j.est.2021.10234316
- Kinemuchi Y., Masuda Y., Ozaki K., Fujita A. // J. Alloys Compd. 2021. V. 882. P. 160741. https://doi.org/10.1016/j.jallcom.2021.160741
- 7. *Kondo S., Johnston D.C., Swenson C.A. et al.* // Phys. Rev. Lett. 1997. V. 78. № 19. P. 3729. https://doi.org/10.1103/PhysRevLett.78.3729
- Schweizer T.F., Niemann U., Que X. et al. // APL Mater. 2023. V. 11. P. 021109. https://doi.org/10.1063/5.0140576
- 9. *Shimizu Y., Takeda H., Tanaka M. et al.* // Nat. Commun. 2012. V. 3. № 1. P. 981. https://doi.org/10.1038/ncomms1979
- 10. *Li G.*, *Sakuma K.*, *Ikuta H. et al.* // Denki Kagaku. 1996. V. 64. № 3. P. 202.
- Lu Y., Zheng X., Wang J. et al. // Adv. Mater. Inter. 2019. V. 6. P. 1901368. https://doi.org/10.1002/admi.201901368
- 12. Christensen C.K., Sørensen D.R., Yvam J., Ransbæk D.B. // Chem. Mater. 2019. V. 31. № 2. P. 512. https://doi.org/10.1021/acs.chemmater.8b04558
- 13. *Divya M.L., Aravindan V.* // Chem. Asian J. 2019. V. 14. № 24. P. 4665. https://doi.org/10.1002/asia.20190094617
- 14. *Sarkar S., Bhownik A., Bharadwaj M.D., Mitra S.* // J. Electrochem. Soc. 2014. V. 161. № 1. P. A14. https://doi.org/10.1149/2.006401jes
- Jouanneau S., Verbaere A., Guyomard D. // J. Solid State Chem. 2005. V. 178. P. 22. https://doi.org/110.1016/j.jssc.2004.10.009
- 16. *Smith J.F., Lee K.J.* // Bull. Alloy Phase Diagrams. 1988. V. 9. № 4. P. 474. https://doi.org/10.1007/BF02881870
- 17. *Казенас Е.К.*, *Цветков Ю.В*. Термодинамика испарения оксидов. М., 2015. 480 с.
- 18. Zhang Y., Evans J.R.G., Yang S. // J. Chem. Eng. Data. 2011. V. 56. № 2. P. 328. https://doi.org/10.1021/je1011086
- 19. *Alcock C.B., Itkin V.P., Horrigan M.K.* // Can. Metall. Q. 1984. V. 23. № 3. P. 309. https://doi.org/10.1179/cmq.1984.23.3.309
- 20. *Kondo M., Nakajima Y.* // Fusion Eng. Des. 2013. V. 88. № 9–10. P. 2556. https://doi.org/10.1016/j.fusengdes.2013.05.049
- 21. *Mondal B., Mukherjee T., Finch N.W. et al.* // Materials. 2023. V. 16. № 1. P. 50. https://doi.org/10.3390/ma16010050
- 22. Тонков Е.Ю. Фазовые диаграммы элементов при высоком давлении. М.: Наука, 1979. 192 с.

- 23. *Arblaster J.W.* // J. Phase Equilib. Diffus. 2017. V. 38. № 1. P. 51. https://doi.org/10.1007/s11669-016-0514-718
- 24. *Chang K., Hallstedt B.* // CALPHAD. 2011. V. 35. № 2. P. 160. https://doi.org/10.1016/j.calphad.2011.02.003
- 25. Зломанов В.П., Новоселова А.В. Р-Т-х-диаграммы состояния систем металл-халькоген. М.: Наука, 1987. 208 с.
- Сычев В.В., Вассерман А.А., Козлов А.Д. и др. Термодинамические свойства кислорода: ГСССР. М.: Изд-во стандартов, 1981. 304 с.
- 27. *Wriedt H.A.* // Bull. Alloy Phase Diagrams. 1989. V. 10. № 3. P. 271. https://doi.org/10.1007/BF02877512
- 28. *Massalski T.B., Okamoto H., Subramanian P.R., Kacprzak L.* // Binary Alloy Phase Diagrams. ASM International. Materials Park. OH. 1990.
- 29. *Kang Y.B.* // J. Eur. Ceram. Soc. 2012. V. 32. № 12. P. 3187. https://doi.org/10.101016/j.jeurceramsoc.2012.04.045
- 30. *Okamoto H.* // J. Phase Equilib. Diffus. 2020. V. 41. № 5. P. 722. https://doi.org/10.1007/s11669-020-00839-9
- Yang Y., Mao H., Selleby M. // CALPHAD. 2015.
 V. 51. P. 144. https://doi.org/10.1016/j.calphad.2015.08.003
- 32. *Cao Z., Li S., Xie W. et al.* // CALPHAD. 2015. V. 51. P. 241. https://doi.org/10.1016/j.calphad.2015.10.003
- 33. *Banchorndhevakul W., Matsui T., Naito K.* // J. Nucl. Sci. Tech. 1986. V. 23. № 10. P. 873. https://doi.org/10.1080/18811248.1986.973507119
- 34. *Banchorndhevakul W., Matsui T., Naito K.* // J. Nucl. Sci. Technol. 1986. V. 23. № 7. P. 602. https://doi.org/10.1080/18811248.1986.9735028
- 35. *Banchorndhevakul W., Matsui T., Naito K. //* Thermochim. Acta. 1985. V. 88. № 1. P. 301. https://doi.org/10.1016/0040-6031(85)85446-0
- 36. *Фомиев А.А., Волков В.Л., Капусткин В.К.* Оксидные ванадиевые бронзы. М.: Наука, 1978. 176 с.

- 37. *Takayama-Muromachi E., Kato K.* // J. Solid State Chem. 1987. V. 71. № 1. P. 274. https://doi.org/10.1016/0022-4596(87)90167-8
- 38. *Deublein G., Huggins R.A.* // J. Electrochem. Soc. 1989. V. 136. № 8. P. 2234. https://doi.org/10.1149/1.2097275
- 39. *Ito Y., Maruyama T., Yoshimura M., Saito Y. //*J. Mater. Sci. Lett. 1989. V. 8. № 4. P. 456.
 https://doi.org/10.1007/BF00720705
- 40. *Das S., Ma X., Zong X. et al.* // Phys. Rev. B. 2006. V. 74. P. 184417. https://doi.org/10.1103/PhysRevB.74.184417
- 41. *Sun Y., Li C., Yang C. et al.* // Adv. Sci. 2022. V. 9. № 3. P. 2103493. https://doi.org/10.1002/advs.20210349320
- 42. *Tian W., Chisholm M.F., Khalifan P.G. et al.* // Mater. Res. Bull. 2004. V. 39. № 9. P. 1319. https://doi.org/10.1016/j.materresbull.2004.03.024
- 43. *Jadidi Z., Yang J.H., Chen T. et al.* // J. Mater. Chem. 2023. V. 11. № 33. P. 17728. https://doi.org/10.1039/D3TA02475J
- 44. *Meng L., Guo R., Li F. et al.* // J. Mater. Sci. 2020. V. 55. № 13. P. 5522. https://doi.org/10.1007/s10853-020-04388-x
- 45. *Reisman A., Mineo* J. // J. Phys. Chem. 1962. V. 66. № 6. P. 1181. https://doi.org/10.1021/i100812a048
- 46. *Das S., Zong X., Niazi A. et al.* // Phys. Rev. B. 2007. V. 76. P. 054418. https://doi.org/10.1103/PhysRevB.76.054418
- 47. *Фотиев А.А.*, *Глазырин М.И.*, *Баусова Н.В.* // Журн. неорган. химии. 1968. Т. 13. № 7. С. 1936.
- 48. *Волков В.Л., Сурат Л.Л., Фотиев А.А.* // Химия и технология ванадиевых соединений. Пермь, 1974. С. 273.
- Buzanov G.A., Nipan G.D., Zhizhin K.Yu., Kuznetsov N.T. // Russ. J. Inorg. Chem. 2017. V. 62. P. 551. https://doi.org/10.1134/S0036023617050059
- 50. *Райнз* Ф. Диаграммы фазового равновесия в металлургии. М.: Металлургия, 1960. 376 с.

PHASE EQUILIBRIA IN THE Li-V-O SYSTEM (ANALYTICAL REVIEW)

G. D. Nipan^{a, *}, G.A. Buzanov^a

^aKurnakov Institute of General and Inorganic Chemistry of the RAS, Moscow, 119071 Russia *e-mail: nipan@igic.ras.ru

Using the method of topological modeling and basing on fragmentary experimental data on phase equilibria and transformations, P-T-x phase diagrams of binary systems Li-V, Li-O, V-O, as well as a complete isothermal concentration diagram of the Li-V-O system, which take into account the formation of limited solid solutions and the presence of saturated vapor, were constructed for the first time.

Keywords: lithium vanadates, complex oxides, soild solutions, multicomponent oxide systems, phase diagrams